

УДК 539.214; 539.374

© 2001 г. А.В. КОНОВАЛОВ

## КРУЧЕНИЕ ЦИЛИНДРИЧЕСКОГО СТЕРЖНЯ И ТРУБЫ ИЗ УПРУГОПЛАСТИЧЕСКОГО МАТЕРИАЛА С БОЛЬШИМИ ПЛАСТИНЧАТЫМИ ДЕФОРМАЦИЯМИ

Изложены постановка и результаты решения задач кручения круглого цилиндрического стержня и трубы из упругопластического материала с большими пластическими деформациями. В отличие от классических решений [1] в постановке задач отсутствуют предположения о равенстве нулю деформаций в направлении координатных осей цилиндрической системы координат, ось  $z$  которой совпадает с продольной осью стержня и трубы, а также равенства нулю нормальных составляющих напряжений на координатных площадках.

Объяснен эффект осевых остаточных деформаций при кручении стержня и трубы (эффект Пойнтинга). Этот эффект был экспериментально обнаружен опытным путем при кручении проволоки и стержней из стали, меди и алюминия [2–4]. Далее его наблюдали и изучали экспериментально при кручении цилиндрических и трубчатых образцов для этих и других металлов [5–8]. Однако авторы данных исследований не дали объяснения наблюдаемому явлению.

Установлено, что среднее нормальное напряжение в части внутреннего объема стержня и трубы положительно и может достигать значений, сопоставимых со значениями напряжения текучести.

**1. Определяющие соотношения.** Для решения задач кручения круглого цилиндрического стержня и трубы из упругопластического материала с большими пластическими деформациями используем определяющее соотношение, полученное ранее в работе [9]:

$$\sigma^{CR} = \lambda \dot{\Theta} I + 2(\lambda \Theta + \mu) D - JmS \quad (1.1)$$

$$F(S, k) = 0, S S \cdot S - k^2 = 0, \quad \sigma^{CR} = \dot{\sigma} + \nabla v \cdot \sigma + \sigma \cdot \nabla v^T$$

$$S = \sigma - \sigma_0 I, \quad \sigma_0 = K \Theta I, \quad K = \lambda + \frac{2}{3} \mu$$

$$D = 0,5(\nabla v + \nabla v^T), \quad \dot{\Theta} = (1 + \Theta)(I \cdot D), \quad \Theta = (V - V_0)/V_0$$

$$m = \left[ \left[ \mu \left( 1 - \frac{2}{3} \Theta \right) S - S \cdot S \right] \cdot D - \frac{\mu}{3} \dot{\Theta} S \cdot I \right] / \left[ k^2 \left( 1 + \frac{1}{\mu} \frac{dk}{d\chi} \right) \right]$$

где  $\sigma$  – тензор напряжений Коши;  $\sigma^{CR}$  – производная Коттер – Ривлина тензора напряжений Коши [10];  $\nabla v$  – градиент скорости перемещений  $v$ ;  $D$  – тензор скоростей деформаций;  $\lambda, \mu$  – коэффициенты Ламе;  $K$  – объемный модуль упругости;  $I$  – единичный тензор;  $\Theta$  – относительное изменение индивидуального объема бесконечно малой частицы среды,  $V_0, V$  – соответственно индивидуальный объем бесконечно малой частицы среды до деформации и после деформации;  $F$  – скалярная функция нагружения;  $k = k(\chi)$  – напряжение текучести;  $\chi$  – параметр упрочнения, скорость

изменения которого в силу малости упругих деформаций вычисляем по формуле  $\dot{\chi} = \sqrt{2D \cdot D}$ ; точкой обозначено скалярное произведение тензоров, двумя точками – двойное скалярное произведение тензоров, точкой сверху – производная по времени, значок  $T$  означает транспонирование;  $J = 0$  при  $F < 0$  или при  $F = 0$ ;  $S \cdot \dot{S} \leq 0$ ;  $J = 1$  при  $F = 0$ ,  $S \cdot \dot{S} > 0$ .

Соотношение (1.1) справедливо для малых упругих деформаций, подчиняющихся закону Гука, и больших пластических деформаций, удовлетворяющих ассоциированному закону пластического течения [1]. Материал изотропный и изотропно упрочняющийся, пластически несжимаемый и удовлетворяет условию текучести Мизеса, изменение объема чисто упругое.

**2. Простой сдвиг.** Так как при кручении цилиндрического стержня имеет место схема движения, близкая к простому сдвигу, то рассмотрим сначала пример простого сдвига упругопластической среды на величину  $w$  с большими пластическими деформациями и законом движения вида  $x^1 = \xi^1 + w\xi^2$ ,  $x^2 = \xi^2$ ,  $x^3 = \xi^3$ , где  $x^i$  – декартовы координаты системы отсчета,  $\xi^j$  – текущая лагранжевая система координат. Деформированное состояние при сдвиге плоское, объем не изменяется,  $\Theta = 0$ , поэтому имеем  $S_{ij} = \sigma_{ij}$  ( $i, j = 1, 2, 3$ ), а единственная отличная от нуля компонента тензора скоростей деформаций равна  $D_{12} = 0,5\dot{w}$ , где  $\dot{w}$  – скорость сдвига. Пусть напряжение текучести описывается линейной функцией

$$k = k_0 + B\chi, \quad k_0/\mu = 0,0005 \quad (\mu = 40\,000 \text{ МПа}) \quad (2.1)$$

Компоненты тензора напряжений согласно определяемому соотношению (1.1) являются решением следующей системы дифференциальных уравнений:

$$\begin{aligned} \dot{\sigma}_{12} &= \mu\dot{w} - Jm\sigma_{12}, & \dot{\sigma}_{22} &= -2\sigma_{12}\dot{w} - Jm\sigma_{22}, \\ \dot{\sigma}_{11} &= \dot{\sigma}_{33} = \dot{\sigma}_{13} = \dot{\sigma}_{23} = 0 \end{aligned} \quad (2.2)$$

с нулевыми начальными условиями:  $\sigma_{ij}(0) = 0$  ( $i, j = 1, 2, 3$ ).

На фиг. 1 представлены рассчитанные по системе (2.2) при  $B/\mu = 0,001$  в функции (2.1) значения компонент тензора напряжений в зависимости от величины сдвига  $w$ . Кривая 1 соответствует  $\sigma_{12}/\mu$ , кривая 2 – величине  $\sigma_{22} \cdot 10^2/\mu$ . Видно, что при простом сдвиге имеет место сжимающее напряжение  $\sigma_{22}$ , которое по абсолютной величине монотонно увеличивается в процессе сдвига и на два порядка меньше, чем сдвиговое напряжение  $\sigma_{12}$ . Появление напряжения  $\sigma_{22}$  обусловлено наличием конвективных слагаемых в производной Коттер – Ривлина тензора напряжений Коши в определяющем соотношении.

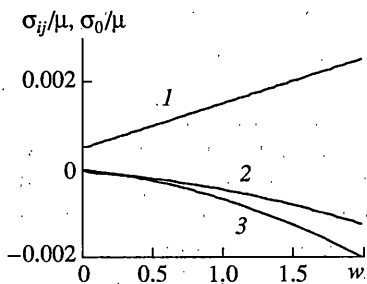
В работе [9] отмечается, что для конечных деформаций модуль шарового тензора  $\sigma_0$  нельзя вычислять по формуле  $\sigma_0 = (\sigma \cdot I)/3$ , так как она не определяет точно долю напряжений, отвечающих за упругое изменение объема. Для иллюстрации сказанного рассмотрим ту же задачу простого сдвига, но тензор  $S$  в определяющем соотношении (1.1) будем вычислять по формуле

$$S = \sigma - \sigma_0 I = \sigma - \frac{1}{3}(\sigma \cdot I)I \quad (2.3)$$

Тогда система дифференциальных уравнений для компонент тензора напряжений имеет вид

$$\begin{aligned} \dot{\sigma}_{11} &= -JmS_{11}, & \dot{\sigma}_{12} &= \mu\dot{w} - \sigma_{11}\dot{w} - JmS_{12}, & \dot{\sigma}_{22} &= -2\dot{w}\sigma_{12} - JmS_{22} \\ \dot{\sigma}_{33} &= -JmS_{33}, & \dot{\sigma}_{13} &= \dot{\sigma}_{23} = 0 \end{aligned} \quad (2.4)$$

с нулевыми начальными условиями:  $\sigma_{ij}(0) = 0$  ( $i, j = 1, 2, 3$ ).



Фиг. 1

На фиг. 1 кривой 3 изображены вычисленные по системе (2.4) при  $B/\mu = 0,001$  величины  $\sigma_{11}/\mu$ ,  $\sigma_{22}/\mu$ ,  $\sigma_{33}/\mu$  и  $\sigma_0/\mu$ , значения которых практически совпадают. Видно, что напряжения  $\sigma_{11}$ ,  $\sigma_{22}$ ,  $\sigma_{33}$  и  $\sigma_0$  при конечном сдвиге одного порядка со сдвиговым напряжением  $\sigma_{12}$ .

Различие решений систем (2.2) и (2.4) заключается в следующем. Если тензор  $S$  вычисляется по формуле (2.3), то модуль шарового тензора  $\sigma_0$  будет отличен от нуля, так как не равна нулю компонента  $\sigma_{22}$ . Отсюда компоненты  $S_{ji}$  с одинаковыми индексами не совпадают с соответствующими компонентами  $\sigma_{ii}$ . Из первого и четвертого уравнений системы (2.4) видно, что с появлением пластических деформаций компоненты  $\sigma_{11}$  и  $\sigma_{33}$  станут отличными от нуля. Это приведет с ростом величины сдвига к возрастанию по абсолютной величине модуля шарового тензора  $\sigma_0$  до значений близких к значениям напряжения  $\sigma_{12}$  (ср. кривые 1 и 3 на фиг. 1). Таким образом, использование формулы (2.3) приводит к тому, что при простом упругопластическом сдвиге без изменения объема модуль шарового тензора  $\sigma_0$  не равен нулю. Это противоречит условию неизменности объема и, следовательно, условию равенства нулю модуля шарового тензора в данном процессе деформирования.

В работе [9] определяющее соотношение (1.1) сравнивалось с аналогичными соотношениями, полученными другими авторами. Отмечалось, что в случае применения в левой части первого равенства в (1.1) вместо производной Коттер – Ривлина тензора напряжений Коши любой другой коротационной производной в определяющее соотношение вносится ошибка, обусловленная разностью между производной Коттер – Ривлина и применяемой производной.

В частности для простого сдвига в работе [11] с использованием ряда коротационных производных получены формулы для вычисления компонент тензора напряжений, которые можно записать следующим образом:

$$\begin{aligned} \dot{\sigma}_{11} &= -c_1 \sigma_{12} \dot{w} - JmS_{11}, & \dot{\sigma}_{12} &= \mu \dot{w} - (c_2 \sigma_{11} + c_1 \sigma_{22}) \dot{w} / 2 - JmS_{12}, \\ \dot{\sigma}_{22} &= -c_2 \sigma_{12} \dot{w} - JmS_{22}, & \dot{\sigma}_{33} &= -JmS_{33}, & \dot{\sigma}_{13} &= \dot{\sigma}_{23} = 0 \end{aligned} \quad (2.5)$$

где величины  $c_1$  и  $c_2$  для разных производных представлены в таблице.

Коротационная производная	Коттер – Ривлина (Cotter – Rivlin)	Яуманна (Jaumann)	Трусделла (Truesdell)	Грина – Нагди (Green – Naghdi)	Совербай – Чу (Sowerby – Chu)	Дурбана – Баруха (Durban – Baruch)
$c_1$	0	-1	-2	$-\frac{4}{w^2 + 4}$	$-\frac{2}{w^2 + 4}$	$-\frac{3}{2}$
$c_2$	2	1	0	$\frac{4}{w^2 + 4}$	$\frac{2}{w^2 + 4}$	$\frac{1}{2}$

Из данной таблицы и уравнений (2.5) следует, что в случае использования в определяющих соотношениях любой из рассматриваемых производных, кроме производной Коттер – Ривлина, напряжение  $\sigma_{11}$  при простом сдвиге будет отличным от нуля. При использовании производной Коттер – Ривлина в системе (2.5) она совпадает с системой (2.4).

**3. Постановка задачи.** Введем цилиндрическую систему координат  $\phi$  (угол),  $z$ ,  $r$  (радиус). В этой системе координат рассмотрим задачу определения напряженно-деформированного состояния упругопластического круглого цилиндрического стержня при кручении вокруг продольной оси  $z$ .

Начальные напряжения и деформации отсутствуют. Массовыми и инерционными

силами пренебрежем. Закон движения зададим в виде

$$\varphi = \varphi_0 + w(1+a)z_0, \quad z = (1+a)z_0, \quad r = \psi(r_0, t) \quad (3.1)$$

где  $\varphi_0 \in [0, 2\pi]$ ,  $z_0 \in [0, Z_0]$ ,  $r_0 \in [0, R_0]$  – координаты точек стержня до деформации,  $Z_0$ ,  $R_0$  – соответственно начальные длина и радиус стержня;  $w = w(t)$  – угол закручивания сечения стержня при  $z = 1$ ,  $t$  – время. Функции  $a = a(t)$  и  $\psi(r_0, t)$  неизвестны и определяются в процессе решения задачи. Из решения задачи простого сдвига следует, что компонента тензора напряжений  $\sigma_{22}$  отрицательная, что можно интерпретировать как сопротивление стремлению материала расширяться вдоль оси  $x^2$ . Исходя из этого в законе движения (3.1) при кручении допускается возможность стержня однородно удлиняться или укорачиваться вдоль продольной оси  $z$ .

Физические компоненты векторов скорости равны

$$v_\varphi = qrz, \quad v_z = \frac{z\dot{a}}{1+a}, \quad v_r = f(r), \quad q = \dot{w} + \frac{w\dot{a}}{1+a} \quad (3.2)$$

где функция  $f(r)$  определяется для каждого момента времени в процессе решения задачи, при этом  $f(0) = 0$ .

Физические компоненты градиента вектора скорости  $\nabla v$ , исходя из зависимостей (3.2), равны

$$(\nabla_i v_j) = \begin{vmatrix} f/r & 0 & 0 \\ qr & \dot{a}/(1+a) & 0 \\ 0 & 0 & df/dr \end{vmatrix} \quad (i, j = \varphi, z, r) \quad (3.3)$$

Будем считать, что поверхностные силы на боковой поверхности цилиндра отсутствуют, а нормальная составляющая поверхностных сил в актуальной конфигурации на торцевой поверхности  $\Sigma_1$  с нормалью  $n = (0, 1, 0)$  взаимно уравновешена. Последнее описывается равенствами

$$\int_{\Sigma_1} n \cdot \sigma \cdot n ds = 2\pi \int_0^R \sigma_{zz} r dr = 0$$

$$\frac{d}{dt} \int_{\Sigma_1} n \cdot \sigma \cdot n ds = 2\pi \int_0^R \left[ \dot{\sigma}_{zz} + \left( \frac{v_r}{r} + \frac{\partial v_r}{\partial r} \right) \sigma_{zz} \right] r dr = 0$$

откуда с учетом (3.2) имеем

$$\int_0^R \left[ \dot{\sigma}_{zz} + \left( \frac{f}{r} + \frac{df}{dr} \right) \sigma_{zz} \right] r dr = 0 \quad (3.4)$$

Здесь  $\sigma_{ij}$  ( $i, j = \varphi$ ),  $r, z$  – физические компоненты тензора напряжений Коши,  $R$  – текущее значение радиуса цилиндра,  $ds$  – элемент поверхности.

**4. Алгоритм решения.** Поскольку компоненты тензора скоростей деформаций  $D_{ij}$  в каждый момент времени, исходя из (3.3), зависят только от координаты  $r$ , то и физические компоненты тензора напряжений Коши  $\sigma_{ij}$  согласно определяющему соотношению (1.1) будут в каждый момент времени также зависеть только от  $r$ . Поэтому все дальнейшее решение задачи будем рассматривать при фиксированных значениях  $\varphi_0 = 0$  и  $z_0 = 0$ . В этом случае в соответствии с законом движения (3.1) координаты  $\varphi$  и  $z$  материальных точек стержня не изменяются (точки перемещаются только вдоль радиуса), и, следовательно, не изменяются для них в процессе деформации ортонормированные базисные векторы системы координат наблюдателя. Последнее позволяет при дифференцировании по времени тензоров при фиксированных

лагранжевых координатах  $\varphi_0, z_0, r_0$  дифференцировать только их компоненты в системе координат наблюдателя.

Из определяющего соотношения (1.1) с учетом зависимостей (3.3) получим систему дифференциальных уравнений для физических компонент тензора напряжений Коши:

$$\dot{\sigma}_{\varphi\varphi} = \lambda\dot{\Theta} + 2(\lambda\Theta + \mu)D_{\varphi\varphi} - 2\sigma_{\varphi\varphi}D_{\varphi\varphi} - JmS_{\varphi\varphi} \quad (4.1)$$

$$\dot{\sigma}_{\varphi z} = 2(\lambda\Theta + \mu)D_{\varphi z} - 2\sigma_{\varphi\varphi}D_{\varphi z} - (D_{\varphi\varphi} + D_{zz})\sigma_{\varphi z} - JmS_{\varphi z}$$

$$\dot{\sigma}_{zz} = \lambda\dot{\Theta} + 2(\lambda\Theta + \mu)D_{zz} - 4\sigma_{\varphi z}D_{\varphi z} - 2\sigma_{zz}D_{zz} - JmS_{zz}$$

$$\dot{\sigma}_{rr} = \lambda\dot{\Theta} + 2(\lambda\Theta + \mu)D_{rr} - 2\sigma_{rr}D_{rr} - JmS_{rr}$$

$$\dot{\sigma}_{\varphi r} = \dot{\sigma}_{zr} = 0, \quad \dot{\Theta} = (D_{\varphi\varphi} + D_{zz} + D_{rr})(1 + \Theta)$$

с начальными условиями в момент времени  $t = 0$ :

$$\sigma_{ij} = 0, \quad \Theta = 0 \quad (i, j = \varphi, z, r)$$

Так как  $f/r = D_{\varphi\varphi}$ ,  $df/dr = D_{rr}$ ,  $D_{zz} = \dot{a}/(1+a)$ ,  $D_{\varphi\varphi} = 0,5qr$ , то равенство (3.4) позволяет выразить неизвестную величину  $\dot{a}$  в каждый момент времени  $t$  через функцию  $f(r)$  и ее производную после подстановки в него правой части третьего уравнения системы (4.1).

Решение задачи во времени  $t$  выполним по шагам с величиной шага  $\Delta t$ . На каждом временном шаге для определения функции  $f(r)$  воспользуемся принципом виртуальной мощности в скоростной форме [12], который, если пренебречь массовыми силами, запишется для актуальной конфигурации в виде

$$\int_V [\dot{\sigma} - \nabla v^T \cdot \sigma + (\nabla \cdot v)\sigma] \cdot \nabla h^T dV - \int_{\Sigma} [\dot{P} - (n \cdot \nabla v \cdot n)P + (\nabla \cdot v)P] \cdot h ds = 0 \quad (4.2)$$

где  $h$  – вариация кинематически допустимых полей скоростей;  $\nabla h$  – градиент  $h$ ;  $P = \sigma \cdot n$  – поверхностные напряжения;  $V, \Sigma$  – соответственно объем и поверхность цилиндра в актуальной конфигурации;  $dV$  – элемент объема.

Так как в рассматриваемой задаче неизвестной является функция  $f(r)$  только от переменной  $r$ , то вектор-функцию  $h$  и компоненты ее градиента возьмем в виде

$$h = (0, 0, h_r(r)), \quad (\nabla_j h_i) = \begin{vmatrix} h_r/r & 0 & 0 \\ 0 & 0 & 0 \\ 0 & 0 & dh_r/dr \end{vmatrix} \quad (4.3)$$

Подставляя выражения (4.1) и (4.3) в равенство (4.2), получим

$$\int_0^R \left\{ \left( \dot{\sigma}_{\varphi\varphi} - \sigma_{\varphi\varphi}D_{\varphi\varphi} - 2\sigma_{\varphi z}D_{\varphi z} + \frac{\dot{\Theta}}{1+\Theta}\sigma_{\varphi\varphi} \right) \frac{h_r}{r} + \left( \dot{\sigma}_{rr} - \sigma_{rr}D_{rr} + \frac{\dot{\Theta}}{1+\Theta}\sigma_{rr} \right) \frac{dh_r}{dr} \right\} r dr = 0 \quad (4.4)$$

Решение системы уравнений (4.4), (3.4) осуществили методом конечных элементов, для чего отрезок  $[0, R_0]$  разбили на  $N$  отрезков (конечных элементов) точками деления  $r_0^0 = 0, r_0^1, \dots, r_0^N = R_0$ . На каждом  $k$ -ом отрезке  $[r_0^{k-1}, r_0^k]$  ( $k = 1, 2, \dots, N$ ) к функциям  $r = r(r_0)$ ,  $f(r)$ ,  $h_r(r)$  применили конечно-элементную линейную аппрокси-

мацию:

$$r^{(k)}(\xi) = r^{k-1} + (r^k - r^{k-1})\xi, \quad f^{(k)}(\xi) = f^{k-1} + (f^k - f^{k-1})\xi \quad (4.5)$$

$$h_r^{(k)}(\xi) = h_r^{k-1} + (h_r^k - h_r^{k-1})\xi$$

где  $r^k$ ,  $f^k$ ,  $h_r^k$  – значения функций  $r, f, h_r$  в точках разбиения  $r_0^k$ ;  $\xi \in [0, 1]$ .

Так как на оси симметрии стержня  $z$  компонента скорости  $v_r$  равна нулю, то

$$f^0 = 0 \quad (4.6)$$

Подставляя соответствующие правые части уравнений системы (4.1) с учетом выражений (3.3) в уравнения (4.4) и (3.4), используя аппроксимации (4.5), выполняя интегрирование на каждом конечном элементе по одной средней точке, учитывая произвольность значений  $h_r^k$  и граничное условие (4.6), получили систему  $N + 1$  линейных алгебраических уравнений, позволяющую определить в каждый момент времени  $t$  неизвестные величины  $\dot{a}$ ,  $f^k$  ( $k = 1, \dots, N$ ). По данным величинам в точках интегрирования конечных элементов вычисляли правые части уравнений (4.1). В этих же точках рассчитывали компоненты тензора напряжений Коши для момента времени  $[t + \Delta t]$  по формуле  $\sigma_{ij}(t + \Delta t) = \sigma_{ij}(t) + \Delta t \dot{\sigma}_{ij}$ .

Переходя к следующему моменту времени и используя на нем описанную процедуру решения задачи, последовательно определили напряженно-деформированное состояние при кручении упругопластического цилиндрического стержня.

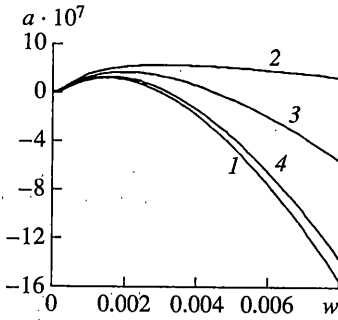
Постановка и алгоритм решения задачи кручения упругопластической трубы такие же, как для задачи кручения упругопластического цилиндра. Отличия состоят лишь в том, что  $r_0 \in [R_1^0, R_2^0]$  ( $R_1^0, R_2^0$  – соответственно внутренний и наружный радиус трубы до деформации), пределы интегрирования в уравнениях (3.4) и (4.4) равны текущим значениям внутреннего и наружного радиусов трубы  $R_1$  и  $R_2$ , и отсутствует граничное условие (4.6).

**5. Результаты решения задачи. 5.1. Удлинение и сжатие цилиндрического стержня и трубы вдоль продольной оси.** Во всех расчетах напряженно-деформированного состояния при кручении стержня и трубы коэффициент Ламе  $\lambda$  определяли через коэффициент Ламе  $\mu$  и коэффициент Пуассона  $\omega$  по формуле  $\lambda = 2\mu\omega/(1 - 2\omega)$ . Коэффициент Пуассона положили постоянным и равным 0.3. Приняли  $R_0 = R_2^0 = 1$ . Так как решение системы уравнений (3.4), (4.4) не изменится, если обе части этих уравнений разделить на константу, например  $\mu$ , то решение задачи выполнили в безразмерном виде для функций  $\sigma_{ij}/\mu$  ( $i, j = \varphi, z, r$ ).

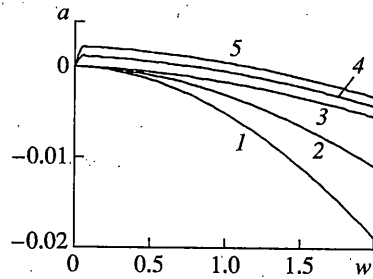
На начальной стадии кручения при упругих деформациях стержень и труба удлиняются. По мере появления и роста пластических деформаций удлинение переходит в сжатие. На фиг. 2 приведены рассчитанные при  $B/\mu = 0.006$  в функции (2.1) значения  $a$  в зависимости от величины сдвига  $w$  для цилиндра (кривая 1) и трубы (кривые 2, 3 и 4 соответствуют  $R_1^0/R_2^0 = 0.8, 0.6, 0.2$ ). Чем тоньше стенка трубы, тем больше удлинение трубы и меньше интенсивность ее последующего сжатия.

Степень удлинения и сжатия стержня и трубы вдоль продольной оси зависит от интенсивности упрочнения материала при пластической деформации. На фиг. 3 представлены значения  $a$  при большом закручивании на величину  $w \leq 2$  для материала с линейной функцией напряжения текучести (2.1). Кривые 1, 2 и 3 соответствуют значениям  $B/\mu = 0.01, 0.006, 0.002$ . Видно, что чем больше интенсивность упрочнения материала, которая определяется параметром  $B$ , тем больше величина сжатия цилиндрического стержня.

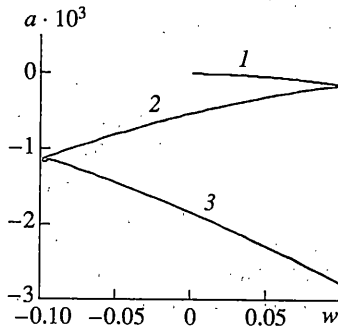
В экспериментах Пойтинга, описанных в [2], кручению были подвергнуты проволоки с приложенной постоянной продольной осевой нагрузкой. При этом имело место



Фиг. 2



Фиг. 3



Фиг. 4.

удлинение испытываемых проволок. Для проверки этого факта решили задачу кручения цилиндрического стержня с дополнительно приложенной вдоль оси  $z$  постоянной нагрузкой. Предположили, что под действием приложенной нагрузки стержень в начальный момент однородно удлиняется, оставаясь в пределах упругих деформаций. Поскольку осевая нагрузка не зависит от времени, то дополнительное введение ее в задачу изменяет только начальные условия

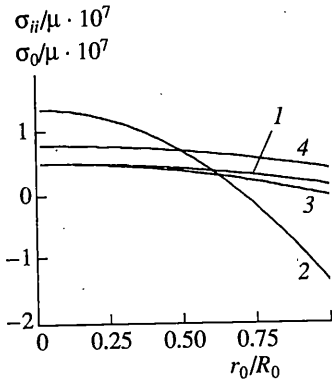
$$\sigma_{zz}(r, t)|_{t=0} = \sigma_{zz}^0 = \text{const}, \quad a(0) = \sigma_{zz}^0 / (2\mu(1 + \omega)), \quad \Theta(0) = \sigma_{zz}^0 / (3K) \quad (5.1)$$

Изменением начальной конфигурацией стержня в силу малости упругих деформаций пренебрегли.

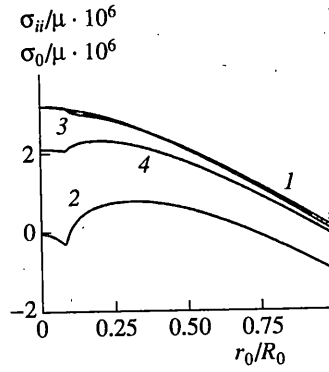
На фиг. 3 представлены вычисленные при  $B/\mu = 0.002$  в функции (2.1) значения  $a$  для случая постоянной осевой нагрузки, при которой  $\sigma_{zz}^0 / \mu = 0.5\sigma_T / \mu$  (кривая 4) и  $\sigma_{zz}^0 / \mu = 0.8\sigma_T / \mu$  (кривая 5), где  $\sigma_T = \sqrt{3}k_0$ . При наличии осевой нагрузки стержень сначала удлиняется, а затем по мере закручивания сжимается. Чем больше осевая нагрузка, тем больше удлинение стержня на начальном этапе кручения.

На фиг. 4 показано изменение величины  $a$  при знакопеременном кручении цилиндра за три цикла (номер у кривой соответствует номеру цикла) для материала с параметром  $B/\mu = 0.05$  в функции (2.1).

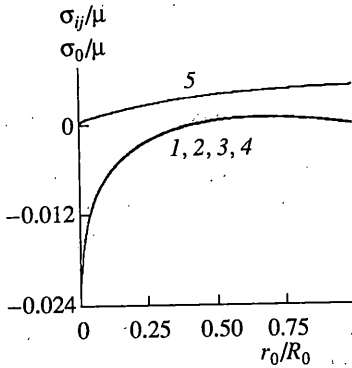
Результаты выполненных расчетов качественно совпадают с наблюдаемыми в опытах закономерностями осевой деформации цилиндрических стержней и труб при кручении и дают им объяснение. В частности, смена растяжения сжатием при повышении температуры для сплава D16 [7] объясняется уменьшением с ростом температуры интенсивности упрочнения  $B/\mu$ . Расчеты моделируют также наблюдаемое в работах [5, 6] изменение закономерности укорачивания или удлинения стержня в на-



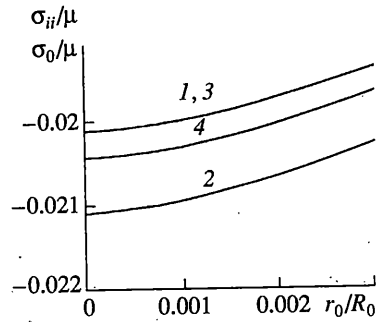
Фиг. 5



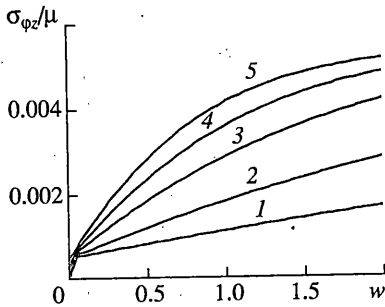
Фиг. 6



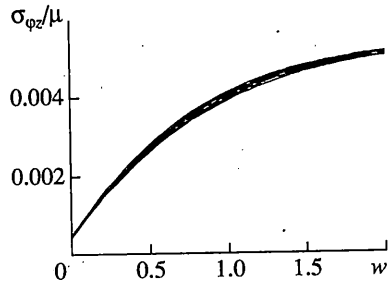
Фиг. 7



Фиг. 8



Фиг. 9

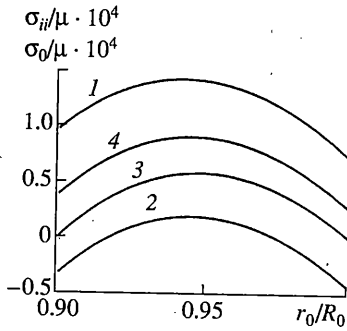


Фиг. 10

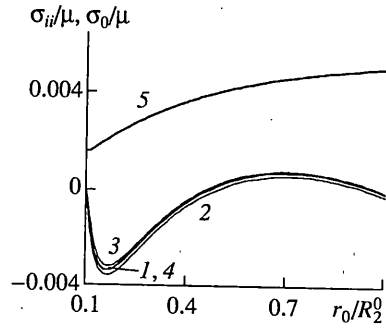
чале второго и последующих циклов в процессе знакопеременного кручения (см. фиг. 4). Это связано с процессом разгрузки при смене направления кручения. Количественно данные расчетов лежат в тех же диапазонах значений, которые имеют место в опытах.

Таким образом, эффект осевых остаточных деформаций при кручении цилиндрических стержней и труб моделируется на основе подхода конечных деформаций и примененных определяющих соотношений.





Фиг. 11



Фиг. 12

5.2. Напряженное состояние цилиндрического стержня и трубы. Все приведенные ниже результаты расчетов получены для напряжения текучести, описываемого зависимостью

$$k/\mu = 0.0005 + 0.006\chi - 0.003\chi^2 + 0.000705\chi^3 - 0.000062\chi^4 \quad (5.2)$$

которую получили аппроксимацией экспериментальных данных работы [13] для меди, где  $\mu = 40\,000$  МПа.

На фиг. 5–8 приведены значения величин  $\sigma_{\varphi\varphi}/\mu$  (кривая 1),  $\sigma_{zz}/\mu$  (кривая 2),  $\sigma_{rr}/\mu$  (кривая 3),  $\sigma_0/\mu$  (кривая 4),  $\sigma_{\varphi z}/\mu$  (кривая 5) вдоль радиуса цилиндра при разных значениях угла закручивания:  $w = 0.0005$  (фиг. 5),  $w = 0.006$  (фиг. 6),  $w = 2$  (фиг. 7, 8). На фиг. 8 показан укрупненный фрагмент данных, представленных на фиг. 7.

Для данных фигуры 5 весь материал стержня находится в упругом состоянии. В центральной области стержня напряжение  $\sigma_{zz}$  растягивающее, а в области, прилегающей к свободной, — сжимающее. Модуль шарового тензора  $\sigma_0$  положителен во всех точках радиуса цилиндра. Значения напряжений  $\sigma_{\varphi\varphi}$ ,  $\sigma_{zz}$ ,  $\sigma_{rr}$  на четыре порядка меньше значения сдвигового напряжения  $\sigma_{\varphi z}$ .

При увеличении закручивания в области, прилегающей к наружной поверхности цилиндра, появляются пластические деформации. Зона этих деформаций расширяется, распространяясь во внутреннюю область цилиндра и сокращая тем самым зону упругих деформаций. Например, для данных фиг. 6 граница упругой и пластической зон проходит при  $r_0/R_0 = 0.08$  в точке излома кривой 2. Напряжение  $\sigma_{zz}$  в центральной части цилиндра становится при этом сжимающим (ср. кривые 2 на фиг. 5–7). Расчеты показывают, что упругая зона при кручении исчезает. Так при разбиении радиуса цилиндра на 200 элементов все они перешли в пластическое состояние при угле закручивания  $w = 0.51$ .

При большом угле закручивания напряжения  $\sigma_{\varphi\varphi}$ ,  $\sigma_{zz}$ ,  $\sigma_{rr}$  имеют близкие между собой значения одного порядка со сдвиговым напряжением  $\sigma_{\varphi z}$ . В центральной части цилиндра они сжимающие и по модулю значительно превышают напряжение  $\sigma_{\varphi z}$  (см. фиг. 7 и 8). Эти напряжения при больших углах закручивания играют основную роль в пластической деформации в центральной области цилиндра.

На фиг. 9 для цилиндрического стержня и на фиг. 10 для трубы с толщиной стенки  $R_1^0/R_2^0 = 0.9$  приведены значения величины  $\sigma_{\varphi z}/\mu$  в зависимости от угла закручивания  $w \leq 2$ . Кривыми с номерами 1, 2, ..., 5 представлены данные при  $r_0/R_0$  соответственно равных 0.1, 0.25, 0.5, 0.75, 1 (фиг. 9) и  $(r_0 - R_1^0)/(R_2^0 - R_1^0)$  соответственно равных 0, 0.25, 0.5, 0.75, 1 (фиг. 10, здесь чем выше кривая, тем большее значение имеет указанное отношение).

На фиг. 11 и 12 приведены значения  $\sigma_{\varphi\varphi}/\mu$  (кривая 1),  $\sigma_{zz}/\mu$  (кривая 2),  $\sigma_{rr}/\mu$  (кривая 3),  $\sigma_0/\mu$  (кривая 4),  $\sigma_{\varphi z}/\mu$  (кривая 5 на фиг. 12) вдоль радиуса трубы при угле закручивания  $w = 2$  для трубы с толщиной стенки  $R_1^0 / R_2^0$  равной 0.9 (фиг. 11) и 0.1 (фиг. 12).

Из данных на фиг. 10 и 11 видно, что при кручении тонкостенной трубы с большими углами закручивания напряжения  $\sigma_{\varphi\varphi}$ ,  $\sigma_{zz}$ ,  $\sigma_{rr}$  на порядок меньше, чем сдвиговое напряжение  $\sigma_{\varphi z}$ . Модуль шарового тензора  $\sigma_0$  во всех точках радиуса стенки трубы положителен.

При кручении толстостенной трубы на большой угол напряжения  $\sigma_{\varphi\varphi}$ ,  $\sigma_{zz}$ ,  $\sigma_{rr}$  имеют близкие между собой значения одного порядка со сдвиговым напряжением  $\sigma_{\varphi z}$  (аналогично кручению цилиндра). В области, прилегающей к внутренней стенке трубы, они сжимающие и по модулю превышают напряжение  $\sigma_{\varphi z}$ . Однако в отличие от цилиндра значения напряжений  $\sigma_{\varphi\varphi}$ ,  $\sigma_{zz}$ ,  $\sigma_{rr}$  по модулю резко уменьшаются при приближении к внутренней стенке трубы.

#### СПИСОК ЛИТЕРАТУРЫ

1. Седов Л.И. Механика сплошной среды. Т. 2. М.: Наука, 1984. 560 с.
2. Белл Дж.Ф. Экспериментальные основы механики деформируемых твердых тел. Ч. 2. Конечные деформации. М.: Наука, 1984. 432 с.
3. Надаи А. Пластичность и разрушение твердых тел. М.: Изд-во иностр. лит., 1954. 647 с.
4. Фридман Я.Б. Механические свойства металлов. Ч. 1. Деформация и разрушение. М.: Машиностроение, 1974. 472 с.
5. Андронов И.Н., Богданов Н.П., Лихачев В.А. Осевое деформирование сплавов при знакопеременном кручении // Проблемы прочности. 1989. № 6. С. 106–108.
6. Андронов И.Н., Беляев С.П., Каменцева З.П. и др. Осевые деформации в никелиде титана, инициируемые кручением // Проблемы прочности. 1990. № 3. С. 117–119.
7. Андронов И.П., Богданов Н.П., Власов В.П. и др. Закономерности осевого деформирования металлов при пластическом кручении // Проблемы прочности. 1990. № 7. С. 86–88.
8. Bell J.F. Experiments on the kinematics of large plastic strain in ordered solids // Int. J. Solids Struct. 1989. V. 25. No. 3. P. 267–278.
9. Коновалов А.В. Определяющие соотношения для упругопластической среды при больших пластических деформациях // Изв. РАН. МТТ. 1997. № 5. С. 139–147.
10. Cotter B.A., Rivlin R.S. Tensors associated with time-dependent stress // Quart. Appl. Math. 1955. V. 13. No. 2. P. 177–188.
11. Szabo L., Balla M. Comparison of some stress rates // Int. J. Solids Struct. 1989. V. 25. No. 3. P. 279–297.
12. Поздеев А.А., Трусов П.В., Няшин Ю.И. Большие упругопластические деформации. М.: Наука, 1986. 232 с.
13. Полухин П.И., Гун Г.Я., Галкин А.М. Сопротивление пластической деформации металлов и сплавов: Справочник. М.: Metallurgy, 1983. 352 с.

Екатеринбург

Поступила в редакцию  
1.07.1998